

СЗУЧ. 1ш  
Б-90

СООБЩЕНИЯ  
ОБЪЕДИНЕННОГО  
ИНСТИТУТА  
ЯДЕРНЫХ  
ИССЛЕДОВАНИЙ  
ДУБНА



3087/2-76

9/III-76

P2 - 9701

Э.Г.Бубелев, В.П.Хен, В.Г.Яцюк

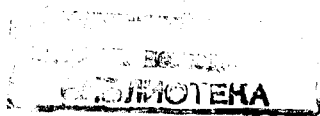
ПАРАМЕТРИЗАЦИЯ НАПРАВЛЕНИЙ  
ДИНАМИЧЕСКОЙ ОСИ КВАНТОВАНИЯ СПИНА  
 $\rho$ ,  $K^{*0}$  И  $\Delta^{++}$  -РЕЗОНАНСОВ  
ПРОИЗВОЛЬНЫМ ПУЧКОМ ПРЯМЫХ ЛОБАЧЕВСКОГО

**1976**

P2 - 9701

Э.Г.Бубелев, В.П.Хен, В.Г.Яцюк

ПАРАМЕТРИЗАЦИЯ НАПРАВЛЕНИЙ  
ДИНАМИЧЕСКОЙ ОСИ КВАНТОВАНИЯ СПИНА  
 $\rho$ ,  $\kappa^{*0}$  И  $\Delta^{++}$  -РЕЗОНАНСОВ  
ПРОИЗВОЛЬНЫМ ПУЧКОМ ПРЯМЫХ ЛОБАЧЕВСКОГО



## S u m m a r y

The best of the published world's data on the  $t$ -dependence of the density matrix elements for  $\rho$ ,  $K^{*0}$ ,  $\Delta^{++}$ -resonances at  $2.8 \div 17$  GeV have been analyzed in the patterns of the Lobachevsky velocity space, which plays the role of the invariant phase space in high energy physics. A natural from the point of view of the velocity space parametrization of the invariant Donohue-Högaasen axis  $z'$ , known as the dynamic spin quantization axis, by pencils of straight lines on the non-Euclidean plane of resonance production was suggested by one of the authors (E.G.B.). It is realised by an arbitrary pencil in the range of momentum transfers  $\sqrt{-t} = 0 \div 1$  ( $0 \div 2$ ) GeV/c. The straight lines of this pencil are transformed one into another by a concrete subgroup of motions in this space which is equivalent to the corresponding subgroup of Lorentz transformations. This parametrization permits one to use the eigenvalues of the density matrix (Donohue-Högaasen parameters  $\alpha, \beta, \gamma$ ) for invariant description of polarization states of resonances. Their  $t$ -dependence has a simple and dynamically definite structure. The results, obtained by invariant spin quantization, significantly differ from those obtained by non-invariant spin quantization in the Jackson direction and in the reaction CMS direction.

*К 150-летию геометрии Лобачевского*

### 1. ВВЕДЕНИЕ

При анализе неупругих  $\pi^-p$ -реакций в образах пространства скоростей Лобачевского<sup>1/</sup> была замечена любопытная особенность анализируемых данных. Оказалось, что плоскости приближенной симметрии угловых распределений  $W(\theta, \phi)$  для пар частиц в выборках, интерпретированных по ряду признаков как продукты распада возбужденных адронов, ориентированы не вдоль направления на адрон до взаимодействия или на СЦМ реакции, а между ними. Эта особенность была проверена на опубликованных данных<sup>2/</sup> о значениях элементов матрицы плотности для распадов  $\rho$ ,  $\omega$  и  $\Delta^{++}$ -резонансов. На основе результатов этой проверки одним из авторов данной работы /Э.Г.Б./ была поставлена задача о параметризации "главной оси"  $z'$  угловых распределений распадов резонансов при различных переданных импульсах  $\sqrt{-t}$  пучками прямых Лобачевского.

Геометрическая постановка задачи анализа угловых распределений резонансов опирается на известную формулировку Черникова<sup>9,10/</sup> релятивистской кинематики в образах пространства скоростей Лобачевского<sup>7-9/</sup>. Основопологающие работы Черникова инициировали исследования<sup>14-17/</sup> по изучению спина на основе геометрии пространства скоростей. В настоящей работе геометрия Лобачевского для пространства скоростей применена для экспериментального исследования инвариантных характеристик поляризационных состояний резонансов.

## 2. Кинематика квантования спина

Как известно<sup>/3/</sup>, поляризационное состояние резонанса со спином  $S$  характеризуется  $(2S+1) \times (2S+1)$ -матрицей плотности, заданной в базе сферических функций  $|Sm\rangle$ , где  $m$  - проекция спина на направление оси квантования в системе покоя резонанса. Направление оси квантования при этом задают или в системе координат Готфрида-Джексона ( $J$ ), или в "системе спиральности" ( $H$ )<sup>/3,4/</sup>. Зависимость элементов матрицы плотности от  $t$  выражает связь определенных поляризационных состояний резонанса с динамикой его образования. Вид этой зависимости в значительной степени определяется априорным заданием направления оси квантования и, следовательно, содержит несущественные кинематические особенности.

Поэтому естественным является предложение Донохью-Хёгаасена /Д-Н/ анализировать  $t$ -зависимость инвариантов матрицы плотности - ее собственных значений<sup>/4/</sup>.  $t$ -зависимость собственных значений матрицы плотности для распадов  $\rho$ ,  $\omega$ ,  $\Delta^{++}$ -резонансов / $\alpha$ ,  $\beta$ ,  $\gamma$ -параметров Д-Н/ экспериментально исследовалась в работе<sup>/5/</sup>. Но для задания поляризационных состояний резонансов при помощи  $\alpha$ ,  $\beta$ ,  $\gamma$ -параметров Д-Н необходимо решить вопрос о кинематике квантования спина в динамической системе координат Донохью-Хёгаасена.  $\alpha$ ,  $\beta$ ,  $\gamma$ -параметры представляют элементы матрицы плотности в динамической системе координат Д-Н, характеризуемой выбором оси квантования вдоль оси симметрии экспериментального углового распределения вероятности распада резонанса в плоскости рождения\*. Направления динамической оси квантования Д-Н в различных системах покоя резонанса, отличающихся величиной  $t$ , определяются из вида экспериментального углового распределения распада резонанса и не связаны друг с другом.

\* Координатные оси системы Д-Н являются пересечениями плоскостей симметрии углового распределения  $W(\theta, \phi)$  распада резонанса, а плотности вероятности распада вдоль этих осей - собственными значениями матрицы плотности.

Поэтому  $\alpha$ ,  $\beta$ ,  $\gamma$ -параметры Д-Н не имеют смысла вероятностей определенных поляризационных состояний в различных системах покоя резонанса до тех пор, пока не указан закон кинематического преобразования направления динамической оси Д-Н при переходе из одной системы покоя резонанса в другую\*. Простой способ кинематической связи направлений динамической оси Д-Н в различных системах покоя резонанса вытекает из представления кинематики реакции в пространстве скоростей Лобачевского.

## 3. Кинематика и геометрия бинарной реакции

Геометрическое представление релятивистской кинематики опирается на фундаментальное понятие пространства скоростей материальной точки<sup>/7-9/</sup>. Это пространство является пространством Лобачевского с кривизной, равной  $-1/c^2$ , где  $c$  - скорость света /в дальнейшем она принята равной 1/. Для простоты и наглядности мы введем здесь пространство скоростей, следуя работам<sup>/8,13/</sup>, при помощи хорошо известного понятия систем отсчета. Будем считать, что точки его представляют всевозможные системы покоя реальных частиц или инерциальные системы отсчета\*\*.

\* Отметим, что направления  $J(H)$  в различных системах покоя резонанса на плоскости его рождения всегда кинематически связаны друг с другом. Связь достигается априорным заданием системы отсчета: системы покоя одной из начальных частиц ( $J$ ) или СЦМ реакции / $H$ /; на направление импульса резонанса в этой системе и проектируется спин. Поэтому все направления  $J(H)$  преобразуются друг в друга вращением вектора импульса резонанса в этой выделенной системе отсчета.

\*\* Строго говоря, точки пространства скоростей представляют собой всевозможные положения безотносительной /к выбору каких-либо систем отсчета/ скорости<sup>/9,11-13/</sup> частицы или системы отсчета, называемой "мировой скоростью"<sup>/13/</sup>. Для упрощения изложения мы опускаем это важное понятие "мировой скорости", но всегда подразумеваем его там, где говорим о системах отсчета или системах покоя частиц в пространстве скоростей Лобачевского.

В качестве координат системы покоя частицы в этом пространстве можно использовать ортогональные компоненты  $(x, y, z)$  вектора относительной скорости частицы в выделенной системе отсчета "О" /8,9,11,13/. В этих координатах точки пространства скоростей Лобачевского заполняют эвклидов шар  $x^2 + y^2 + z^2 < 1$  с центром в точке "О" /поскольку относительные скорости реальных частиц ограничены скоростью света/.

Такое евклидово представление пространства Лобачевского называют моделью Бельтрами, а используемые координаты  $(x, y, z)$  - координатами Бельтрами /12,13,18/. Граничная сфера  $x^2 + y^2 + z^2 = 1$  называется абсолютом пространства Лобачевского и представляет бесконечно удаленные его точки.

Механика контактных столкновений частиц в образах пространства скоростей Лобачевского впервые сформулирована Черниковым /9,10/. В рамках этой формулировки рассмотрим бинарную реакцию



В плоскости рождения частиц А и В введем декартову систему координат с началом в точке С, представляющей собой СЦМ реакции, и осью Х, направленной вдоль оси реакции. Координаты систем покоя частиц, участвующих в реакции /1/, в модели Бельтрами плоскости рождения /рис. 1а/ равны:

$$x_i = \frac{p_i^{\parallel}}{E_i}, \quad y_i = \frac{p_i^{\perp}}{E_i}, \quad i = a, b, A, B, \quad /2/$$

где  $p_i^{\parallel}$ ,  $p_i^{\perp}$ ,  $E_i$  - продольная и поперечная компоненты импульса и полная энергия частицы "i" в СЦМ реакции.

Расстояние  $\rho_{ik}$  между двумя точками "i"  $(x_i, y_i)$  и "k"  $(x_k, y_k)$  на плоскости Лобачевского выражается формулой /11,12, 18/.

$$\rho_{ik} = \frac{1}{2} \ln \frac{1 + \sqrt{1 - \tau^2}}{1 - \sqrt{1 - \tau^2}},$$

где

$$\tau = 1 / \operatorname{ch} \rho_{ik} = \frac{\sqrt{(1 - x_i^2 - y_i^2)(1 - x_k^2 - y_k^2)}}{1 - x_i x_k - y_i y_k}. \quad /3/$$

Если одна из точек, например, "k", совпадает с началом координат, то выражение /3/ дает расстояние от точки "i" до начала координат.

Если массы  $m_i$  ( $i = a, b, A, B$ ) частиц, участвующих в реакции /1/, фиксированы, то законы сохранения энергии-импульса ограничивают кинематически возможные положения частиц А и В на плоскости их рождения диаметрально противоположными точками А и В полуокружностей\* с центром в точке "С", представляющей СЦМ реакции. Неевклидовы радиусы их равны /11,13/

$$\operatorname{ch} \rho_{CA(B)} = (s + m_{A(B)}^2 - m_{B(A)}^2) / 2 m_{A(B)} \sqrt{s}, \quad /4/$$

где  $s$  - квадрат полной энергии в СЦМ реакции. Евклидовы радиусы  $R_A$ ,  $R_B$  их образов в модели Бельтрами равны

$$R_{A(B)} = \operatorname{th} \rho_{CA(B)}, \quad /5/$$

если начало координат модели помещено в точку "С" /рис. 1а/.

В дальнейшем нам потребуется поместить начало координат в точку "а", представляющую собой систему покоя одной из столкнувшихся частиц до взаимодействия, т.е. совершить преобразование Лоренца с переносной скоростью  $x_{ca}$ .

Тогда в модели Бельтрами полуокружности /рис. 1а/ преобразуются в полуэллипсы /рис. 1б/. Граничная окружность

$$x^2 + y^2 = 1$$

\* Эти полуокружности в плоскости бинарной реакции /1/ являются свертками по азимутальному углу  $\phi$  /являющемуся углом ориентации этой плоскости/ "сфер столкновений" в пространстве скоростей, введенных в кинематику Черниковым /10,11/.

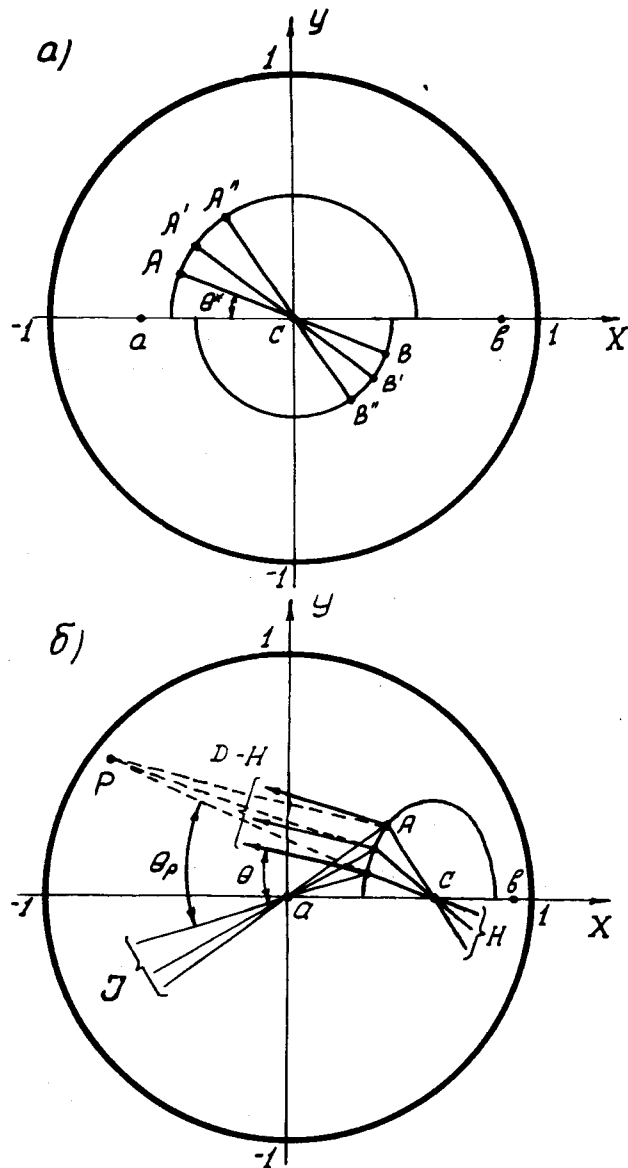


Рис. 1. Кинематика бинарной реакции  $a + b \rightarrow A + B$  в модели Бельтрами неевклидовой плоскости рождения резонанса А: а/ начало координат Бельтрами в точке "С", изображающей СЦМ реакции; б/ начало координат Бельтрами в точке "а", изображающей систему покоя частицы до взаимодействия.

является геометрическим инвариантом этого преобразования /рис. 1а,б/, а именно, абсолютном неевклидовой плоскости рождения в модели Бельтрами.

Алгебраические инварианты  $s$  и  $t$ , используемые в кинематике бинарных реакций, связаны с соответствующими геометрическими инвариантами /неевклидовыми длинами  $\rho_{ab}$ ,  $\rho_{AB}$  и  $\rho_{aA}$ ,  $\rho_{bB}$  отрезков  $ab$ ,  $AB$ ,  $aA$ ,  $bB$  /рис. 1а,б// и массами частиц, участвующих в реакции, соотношениями /11.14/

$$s = m_a^2 + m_b^2 + 2m_a m_b \text{ch} \rho_{ab} = m_A^2 + m_B^2 + 2m_A m_B \text{ch} \rho_{AB}$$

$$t = m_a^2 + m_A^2 - 2m_a m_A \text{ch} \rho_{aA} = m_b^2 + m_B^2 - 2m_b m_B \text{ch} \rho_{bB}$$

/6/

Поэтому величина  $s$  определяет неевклидовы расстояния  $\rho_{ab}$  и  $\rho_{AB}$  между частицами  $a, b$  до взаимодействия и  $A, B$  - после взаимодействия, а также радиусы  $\rho_{CA}, \rho_{CB}$  полуокружностей для частиц  $A$  и  $B$  /по формулам /4/ и /6//, причем  $\rho_{CA} + \rho_{CB} = \rho_{AB}$ . Величина  $(-t)$  квадрата переданного импульса определяет расстояние  $\rho_{aA}$  или  $\rho_{bB}$ , задающее положение системы покоя частицы  $A(B)$  на своей полуокружности.

Пусть частица  $A$  - резонанс со спином. Тогда в плоскости рождения набору кинематически возможных положений точки "А", представляющей систему покоя резонанса А, на своей полуокружности соответствует множество направлений /совокупность прямых/, вдоль которых выбирается ось квантования спина частицы А. Эти направления можно связать друг с другом кинематически при помощи пучка прямых Лобачевского. Такая кинематическая связь вытекает из того, что прямые пучка преобразуются друг в друга движениями в плоскости Лобачевского /12.18/, эквивалентными преобразованиям Лоренца /6/. Априорные направления, вдоль которых

задается ось квантования J(N), кинематически связаны друг с другом именно потому, что они образуют в плоскости Лобачевского тривиальный фиксированный пучок прямых, пересекающихся в точке "а" ("С") /рис. 16/.

Точка пересечения прямых пучка называется его полюсом. Пучок, полюс которого лежит внутри абсолюта  $x^2 + y^2 = 1$ , называется эллиптическим. Совокупности осей квантования J и N принадлежат к пучкам эллиптического типа. В пространстве Лобачевского существуют также параболические пучки /полюс лежит на абсолюте/ и гиперболические пучки /полюс лежит вне абсолюта/.

Использование пучка прямых Лобачевского для параметризации направлений динамической оси Д-Н в различных системах покоя позволяет получить кинематическую связь их между собой. Направления динамической оси Д-Н окажутся кинематически связанными, если они будут принадлежать некоторому апостериорному пучку прямых Лобачевского, подобранному в результате анализа экспериментальных данных.

#### 4. МЕТОД ПОДБОРА ПУЧКА

Для каждого положения системы покоя резонанса А на своей полуокружности направление динамической оси Д-Н в плоскости рождения отличается на угол поворота  $\theta(t)$  от направления оси квантования J. Этот угол вычислялся по формулам /4,5/

$$\operatorname{tg} 2\theta(t) = \frac{2\sqrt{2} \operatorname{Re} \rho_{10}}{\rho_{00} - \rho_{11} + \rho_{1-1}} \quad \text{для векторного мезона}$$

$$-\frac{4\operatorname{Re} \rho_{31} / \sqrt{3}}{\rho_{11} + \rho_{33} + 2\operatorname{Re} \rho_{3-1} / \sqrt{3}} \quad \text{для изобары } \Lambda^{++},$$

/7/

где  $\rho_{ik}$  - элементы матрицы плотности резонанса А в системе J\*. Тем самым в плоскости рождения резонанса А задается совокупность направлений динамической оси Д-Н, соответствующая различным значениям t /показана стрелками на рис. 16/.

Эта совокупность направлений параметризовалась произвольным пучком прямых на плоскости рождения с полюсом в некоторой точке Р /рис. 16/. Выражение для угла  $\theta_P(t)$  между прямой пучка и осью квантования J имеет вид /18/:

$$\sin \theta_P(t) = \sqrt{\frac{(1 - x_A^2 - y_A^2)}{(\lambda^2 + \mu^2 - 1)(x_A^2 + y_A^2)}}$$

$$\lambda = \frac{y_A - y_P}{x_P y_A - x_A y_P}$$

$$\mu = \frac{x_P - x_A}{x_P y_A - x_A y_P} \quad /8/$$

Здесь  $x_A, y_A$  - бельтрамиевы координаты резонанса А на своей полуокружности, а  $x_P, y_P$  - бельтрамиевы координаты полюса пучка Р /неизвестные параметры/.

Экспериментальным материалом являлись опубликованные данные о t-зависимости элементов матрицы плотности для  $\rho, K^{*0}$  и  $\Delta^{++}$ -резонансов, образованных в  $\pi p, K p, pp$ -реакциях /19-26/. По значениям элементов матрицы плотности в k-ом интервале t вычислялся, согласно /7/, угол поворота  $\theta(t_k)$ . Набор углов  $\{\theta(t_k)\}$  /рис. 2/ аппроксимировался кривой  $\theta_P(t, x_P, y_P)$ , вычисленной, согласно /8/, для прямых подбираемого пучка.

\* Величина  $\theta(t)$  определяется из формулы /7/ с точностью  $\pm \pi/2$ . Эта тригонометрическая неоднозначность разрешалась, как и в работе /5/, качественно из условия гладкости t-зависимости угла  $\theta(t)$  и  $\alpha(t), \gamma(t)$  параметров Д-Н.

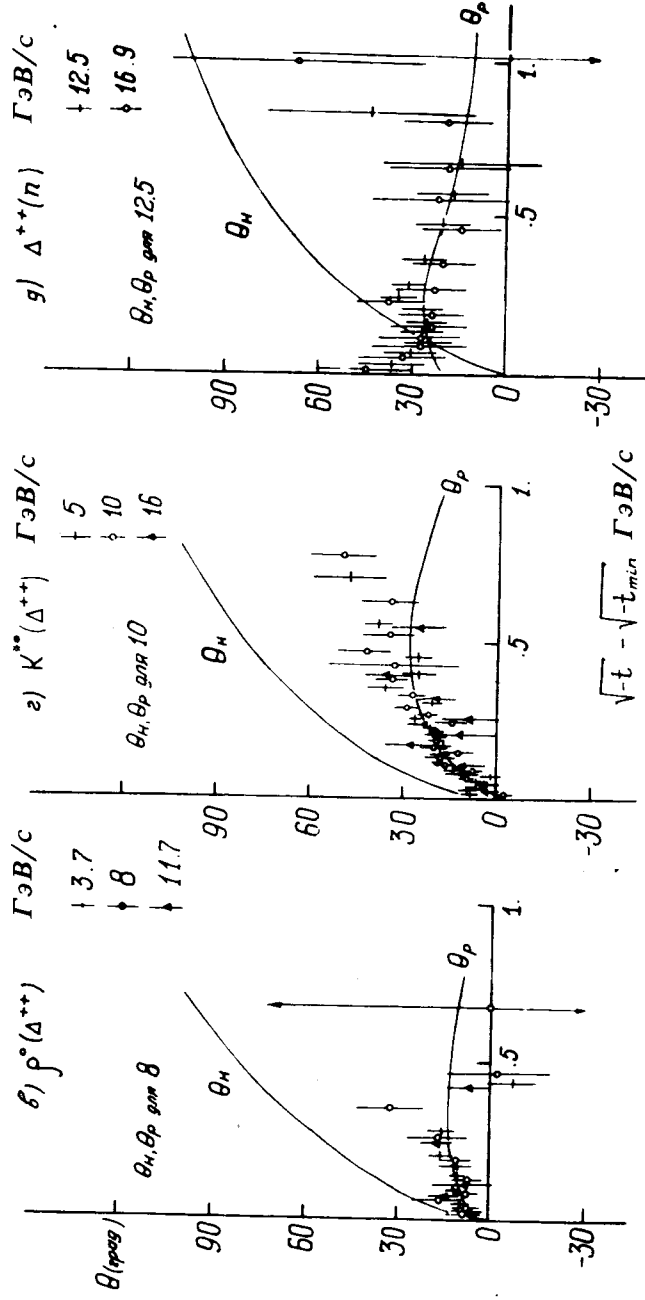
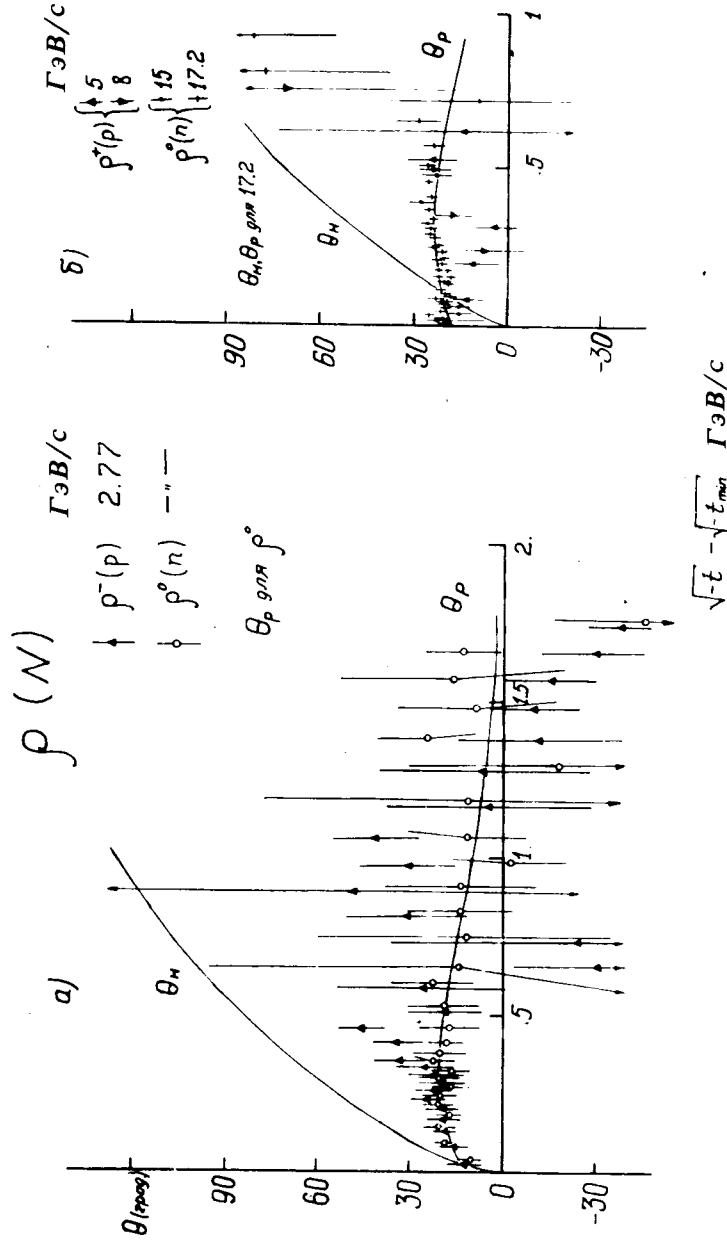


Рис. 2. Экспериментальная  $\tau'$  - зависимость угла поворота  $\theta(\tau')$  между направлениями динамической оси Донохью-Хёгаасена /Д-Н/ и осью квантования  $l$ .  $\theta_N$  - угол между осями квантования Джексона (l) и "спиральности" (H).  $\theta_p$  -  $\tau'$  - зависимость угла между прямой подобранного пучка P и осью квантования Джексона (l); конечное состояние A(B) бинарной реакции  $ab \rightarrow A(B)$  с образованием резонанса A указано общепринятыми символами.



Параметры кривой - неизвестные координаты  $(x_p, y_p)$  полюса пучка P и количественная оценка согласия направлений Д-Н с этим пучком определялись минимизацией  $\chi^2$ -функционала

$$\chi^2 = \sum_{k=1}^{N_{\text{экс}}} \left[ \frac{\theta(t_k) - \theta_p(t_k, x_p, y_p)}{\Delta\theta(t_k)} \right]^2, \quad /9/$$

где  $\Delta\theta(t_k)$  - ошибки в угле поворота, вычисленные из экспериментальных ошибок  $\Delta\rho_{ij}$  элементов матрицы плоскости.

### 5. ОБСУЖДЕНИЕ РЕЗУЛЬТАТОВ

Результаты минимизации для  $\rho^-$ ,  $K^{*0}$  и  $\Delta^{++}$ -резонансов приведены в табл. 1. Близкие к единице значения  $\chi^2 / \text{NDF} / \text{NDF}$  - число степеней свободы/ свидетельствуют об удовлетворительном согласии совокупности направлений динамической оси Д-Н с подобранным пучком прямых P. Найденные значения  $(x_p, y_p)$  координат полюса позволяют определить тип пучка P. Совокупность направлений динамической оси Д-Н для распадов  $\rho$  и  $K^{*0}$ -резонансов описывается пучками гиперболического типа в интервале импульсов пучковой частицы  $P_L \approx 2,8 \div 17 \text{ ГэВ/с}$ . Направления динамической оси Д-Н для  $\Delta^{++}$ -изобары описываются пучками эллиптического типа в интервале  $P_L \approx 12 \div 17 \text{ ГэВ/с}$ .

На рис. 2а-д сплошной линией показана  $t'$ -зависимость угла  $\theta_p(t')$ , вычисленная, согласно /8/, по подобранным значениям координат полюсов  $(x_p, y_p)$ . Видно, что экспериментальная  $t'$ -зависимость угла поворота  $\theta(t')$  удовлетворительно описывается подобранной кривой. Для сравнения в табл. 1 приведены также значения  $\chi^2 / \text{NDF}$  для эллиптических пучков J и H. Значения  $\chi^2 / \text{NDF}$  для пучков J и H существенно больше единицы, т.е. экспериментальная совокупность направлений динамической оси Д-Н резко не согласуется с общепринятыми пучками J и H неинвариантного квантования спина.

Таблица 1

Название составной	$P_L$ (ГэВ/с)	$t'$ -область (ГэВ/с) <sup>2</sup>	число эксп. точек	$\chi^2 / \text{NDF}$			Параметры		Ранг-Бомта
				J	H	P	$x_p$	$y_p$	
<b><math>\rho^-</math>-мезон</b>									
$\rho^- P$	2.77	0-3.6	29	12.8	18.2	0.7	$1.05^{+0.31}_{-0.05}$	$-0.01^{+0.08}_{-0.08}$	19
$\rho^0 n$	2.77	0-0.5	17	6.7	33.1	1.0	$1.23^{+1.18}_{-0.14}$	$-0.16^{+0.18}_{-0.21}$	19
$\rho^+ P$	5.0	0-0.8	5	4.9	25.5	1.9	$1.60^{+1.07}_{-0.13}$	$-0.28^{+0.21}_{-0.10}$	-
$\rho^+ P$	8.0	0-1.0	5	22.4	31.5	1.1	$1.47^{+0.15}_{-0.07}$	$-0.40^{+0.10}_{-0.08}$	5
$\rho^0 n$	15.0	0-0.3	15	103.9	37.4	0.3	$1.29^{+1.10}_{-0.12}$	$-0.28^{+0.24}_{-0.17}$	21
$\rho^0 n$	17.2	0-1.0	28	115.5	102.8	1.4	$1.62^{+0.12}_{-0.27}$	$-0.63^{+0.10}_{-0.43}$	22
<b><math>K^{*0}</math>-мезон</b>									
$\rho^0 \Delta^{++}$	3.7	0-1.0	8	11.4	98.6	2.7	$1.16^{+0.18}_{-0.18}$	$-0.02^{+0.38}_{-0.35}$	23
$\rho \Delta^{++}$	8.0	0-1.0	11	3.0	15.4	0.7	$1.20^{+0.08}_{-0.17}$	$-0.03^{+0.12}_{-0.14}$	5
$\rho \Delta^{++}$	11.7	0-0.5	6	5.8	32.6	0.7	$1.63^{+1.35}_{-0.28}$	$-0.30^{+0.24}_{-0.24}$	24
<b><math>\Delta_{33}</math>-изобара</b>									
$\Delta^{++} n$	12.5	0-1.1	14	12.2	10.7	0.4	$-0.13^{+0.10}_{-0.10}$	$0.18^{+0.19}_{-0.19}$	26
$\Delta^{++} n$	16.9	0-1.1	14	4.7	8.2	0.6	$-0.05^{+0.10}_{-0.11}$	$0.17^{+0.38}_{-0.18}$	26

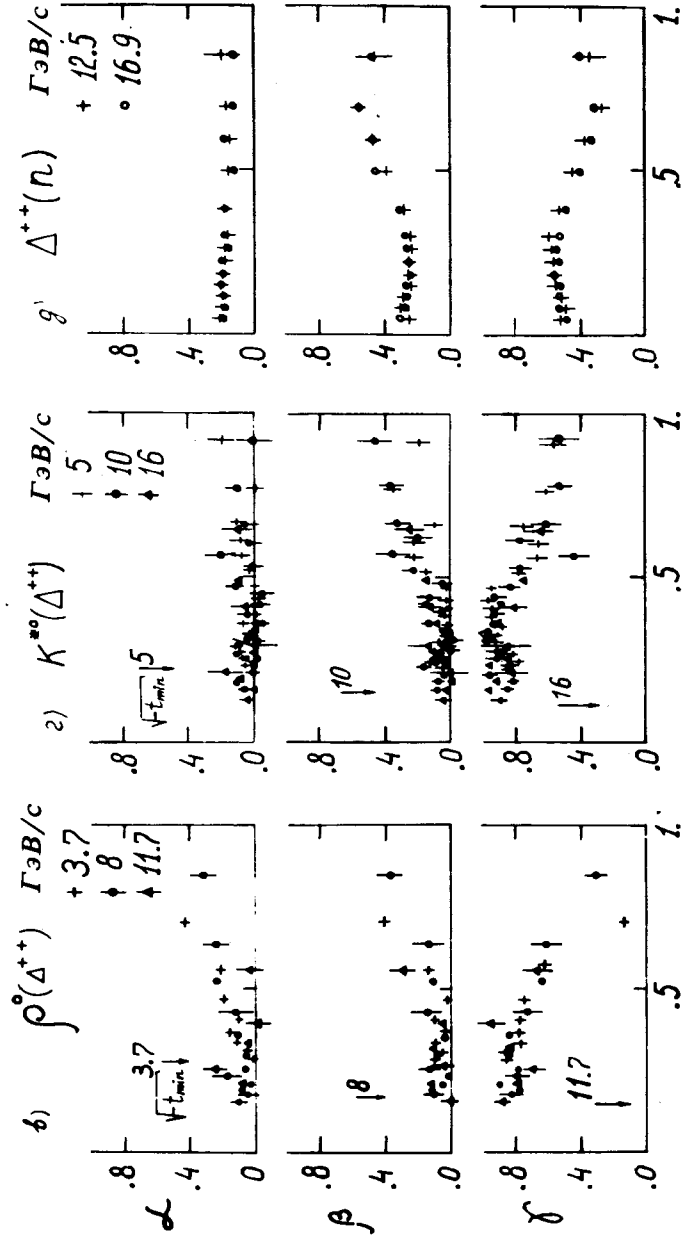
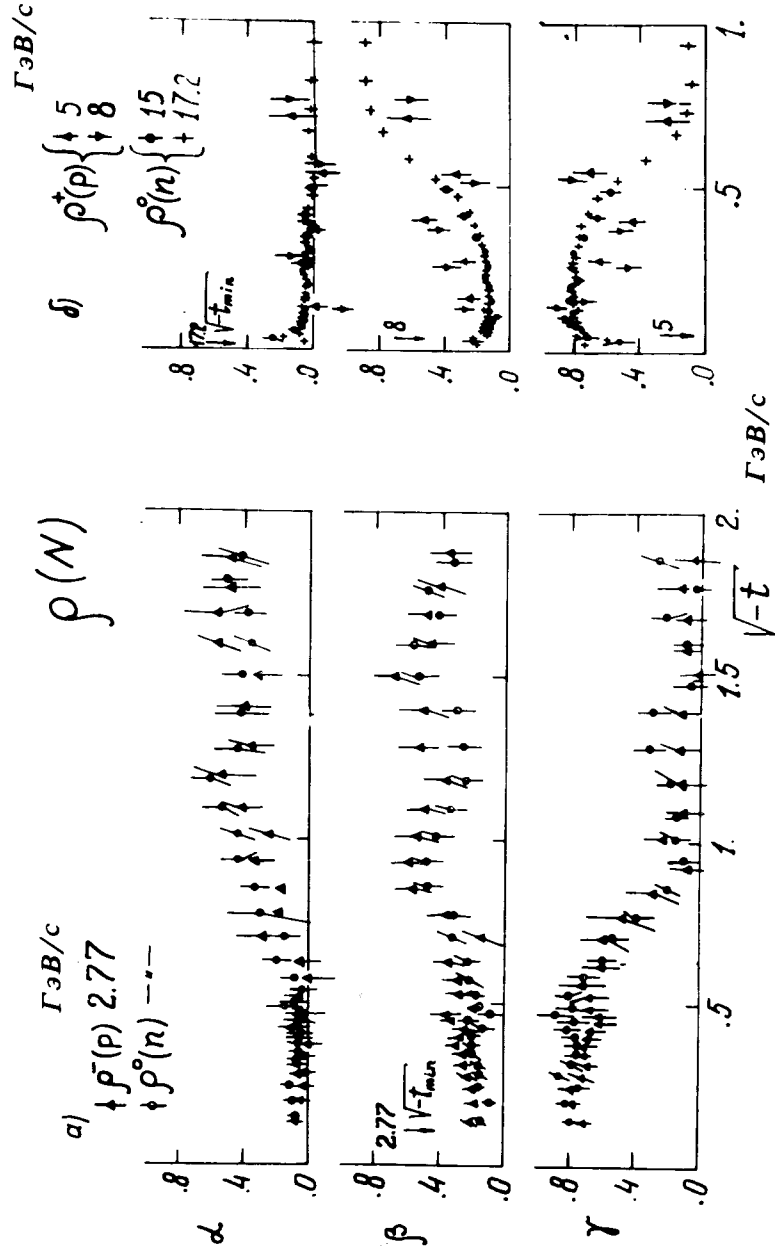


Рис. 3. Экспериментальная  $t$ -зависимость собственных значений матрицы плотности  $\alpha, \beta, \gamma$  параметров Донохью-Хёггасена/Д-Н/; конечное состояние А(В) бинарной реакции  $ab \rightarrow A(B)$  с образованием резонанса А указано общепринятыми символами.

Найденная кинематическая связь направлений динамической оси Д-Н в различных системах покоя резонансов позволяет анализировать  $t$ -зависимость их поляризационных состояний при помощи  $\alpha, \beta, \gamma$ -параметров Д-Н. Эти параметры можно вычислить, исходя из определенных экспериментально элементов матрицы плотности, по приведенным к единому виду формулам<sup>3-5/</sup>:

$$\alpha = 0,5 \{ (B-C+2A) \mp \sqrt{(B+C)^2 + (2D)^2} \},$$

$$\beta = A + C$$

для векторных мезонов      для  $\Lambda^{++}$ -изобары

$$A = (1 - \rho_{00}) / 2$$

$$A = (1 + 4\rho_{33}) / 6$$

$$B = (3\rho_{00} - 1) / 2$$

$$B = (1 - 4\rho_{33}) / 2$$

$$C = \rho_{1-1}$$

$$C = 2 \operatorname{Re} \rho_{3-1} / \sqrt{3}$$

$$D = \sqrt{2} \operatorname{Re} \rho_{10}$$

$$D = 2 \operatorname{Re} \rho_{31} / \sqrt{3} \quad /10/$$

На рис. 3а-д показана  $t$ -зависимость параметров  $\alpha, \beta, \gamma$  для распадов  $\rho, K^{*0}$  и  $\Lambda^{++}$ -резонансов, вычисленная согласно /10/. Эта зависимость имеет простую и четкую структуру, а именно - можно выделить одну или две области квазипостоянства значений  $\alpha, \beta, \gamma$ . Области значений  $t$ , в которой наблюдается резкое изменение этих параметров, можно поставить в соответствие область изменения наклона сечения  $d\sigma/dt$  соответствующего физического канала. В частности, на рис. 3а,б парой пунктирных линий отмечена область изменения наклона сечения  $d\sigma/dt$  в канале  $\pi^+\rho^0\pi$  по данным работ<sup>27,28/</sup>. Такое динамически определенное поведение параметров  $\alpha, \beta, \gamma$  подтверждает предположение авторов работ<sup>4,5/</sup> о фундаментальной роли этих параметров при исследовании поляризационных состояний резонансов и указание о важности исследования "природы направления динамической оси Д-Н, решающей часть динамики сильных взаимодействий"<sup>4/</sup>.

## 6. ЗАКЛЮЧЕНИЕ

В настоящей работе получена инвариантная параметризация совокупности направлений динамической оси Д-Н при помощи пучков прямых Лобачевского. Для  $\rho, K^{*0}, \Lambda^{++}$ -резонансов в интервале передач  $\sqrt{-t} \approx 0 \div 1 / 0 \div 2 / / \text{ГэВ}/c/$  и импульсов  $P_L \approx 2,8 \div 17 \text{ ГэВ}/c$  подобранные параметры пучков позволяют удовлетворительно описать эту совокупность направлений подобранным пучком прямых Лобачевского. Такое описание позволяет изучать поляризационное состояние резонанса в различных системах покоя, отличающихся величиной  $t$ , при помощи собственных значений матрицы плотности -  $\alpha, \beta, \gamma$ -параметров Д-Н.  $t$ -зависимость параметров  $\alpha, \beta, \gamma$  имеет простую структуру, связанную с динамикой образования резонанса.

Полученные результаты являются экспериментальным свидетельством в пользу указания Черникова о том, что "спиновые характеристики частиц следует относить к пространству скоростей /Лобачевского/, а не к пространству координат . . ." /11/.

В заключение авторы благодарят Р.А.Андрееву и А.Ф.Лукьянцева за помощь в написании части программ и Ю.М.Колесникова, участвовавшего в начальном этапе работы. Они благодарны И.С.Сантову и Б.А.Шахбазяну за полезное обсуждение полученных результатов. Один из авторов /Э.Г.Б./ выражает свою признательность А.М.Балдину, А.А.Кузнецову и М.И.Соловьеву за поддержку неевклидова подхода к анализу реакций при высоких энергиях, в рамках которого выполнена настоящая работа.

## ЛИТЕРАТУРА

1. В.А.Беляков, Э.Г.Бубелев, Е.С.Кузнецова. Письма в ЖЭТФ, 8, 197 /1968/.
2. F. Crijns et al. Phys. Lett., 22B, 533 /1966/.
3. P.H. Dalitz. The Production and Decay of Resonant States. Intern. School on Phys. E. Fermi, Varenna, 1964.

4. J.T. Donohue and H. Hogaasen. *Phys. Lett.*, 25B, 554 /1967/.
5. M. Aderholz et al. *Nucl. Phys.*, B24, 509 /1970/.
6. Ф. Клейн. О геометрических основаниях лоренцевой группы. Сб. "Новые идеи в математике", Спб., 1914.
7. А. П. Котельников. Принцип относительности и геометрия Лобачевского. Сб. "In memoriam N. I. Lobačevski", 2, 37, Казань, 1927.
8. В. А. Фок. Теория пространства, времени и тяготения. §§16, 17, ГИТТЛ, М., 1955.
9. Н. А. Черников. а/ Научн. докл. высшей школы, физ-мат. науки, №4, 129 /1958/; б/ Препринт ОИЯИ, Р-723, Дубна, 1961; сб. "Гравитация и теория относительности", вып. II, стр. 9, Казань, 1965.
10. Н. А. Черников. Стохастическое движение релятивистской частицы. Кандидатская диссертация, Дубна, 1957, опубликованная препринтом ИТФ АН УССР № 44-68, Киев, 1968.
11. Н. А. Черников. Геометрия Лобачевского и теория относительности. Международная зимняя школа теоретической физики, т. 3, 151, ОИЯИ, Р-1772, Дубна, 1964.
12. Н. А. Черников. Геометрия Лобачевского. Лекции в НГУ, Новосибирск, 1965.
13. Н. А. Черников. Геометрия Лобачевского и релятивистская механика. ЭЧАЯ, 4, №3, 773, Атомиздат, 1973.
14. G. C. Wick. *Annals of Physics (USA)*, 18, 65 /1962/.
15. Я. А. Смородинский. ЖЭТФ, 43, 2217 /1962/; АЭ, 14, 110 /1963/; Международная школа теоретической физики, т. 3, 179. ОИЯИ, Р-1772, Дубна, 1964.
16. Б. М. Головин, В. И. Никаноров. Препринт ОИЯИ, Р2-5272, Дубна, 1970; ЖЭТФ 60, №1, 28 /1970/.
17. N. V. Skachkov. *JINR Communications*, E2-7159, E2-7333, Dubna, 1973; E2-8285, Dubna, 1975; *TMF*, 22, 213 /1975/.
18. В. Ф. Каган. Основания геометрии, ч. I. М.-Л., 1949; ч. II, М., 1955.
19. J. Bouchez et al. *Prepr. CEN-Saclay B.P.*, no. 2, 91-Gif-sur-Yvette.
20. F. Bulos et al. *Phys. Rev. Lett.*, 26, 1453 /1971/.
21. H. H. Williams. *SLAC Report No.* 142.
22. G. Grayer et al. *Nucl. Phys.*, B50, 29 /1970/.
23. K. L. J. Barnham et al. *Preprint LBL-960*.
24. R. O. Maddock et al. *Nuovo Cim.*, 5A, 433 /1971/.
25. G. Giapetti et al. *Preprint CERN/D.Ph. II/PHYS.73-19*.

26. G. Grayer et al. Measurement of  $pp = (p\pi^+)$  at 16.9 GeV/c and the Effective Trajectory in  $pp - \Delta^{++} (1240)n.$ , XVI-th Int. Conf. on High Energy Phys., Batavia, Sept. 6-13, 1972.
27. G. Grayer et al. High Statistic Study of the Reaction  $\pi^-p \rightarrow \pi^+\pi^-n$  at 17.2 GeV/c, IV-th Int. Conf. on High Energy Collisions, Oxford, April 5-7, 1972.
28. J. P. Baton and G. Laurens. *Nucl. Phys.*, B21, 551 /1970/.

Рукопись поступила в издательский отдел  
8 апреля 1976 года.